

*Письма в ЖЭТФ, том 20, вып. 9, стр. 603 – 606*                    5 ноября 1974 г.

**О КОЛЛЕКТИВНОМ ВЗАИМОДЕЙСТВИИ  
РЕЛЯТИВИСТСКОГО ЭЛЕКТРОННОГО ПУЧКА  
С ПЛОТНОЙ ПЛАЗМОЙ**

*В.А.Киселев, Я.Б.Файнберг, А.К.Березин*

Приведены результаты экспериментального исследования кол-  
лективного взаимодействия релятивистского электронного пучка  
с плазмой, плотность которой менялась в пределах  $10^{15} + 10^{17} \text{ см}^{-3}$ .  
Обнаружены потери энергии пучком от 15 до 90% в зависимости  
от плотности плазмы. Наблюдалось излучение из плазмы при взаи-  
модействии с ней релятивистского электронного пучка в диапазо-  
не длин волн  $\sim 1 \text{ мкм}$ , а также мягкое рентгеновское излучение.

Одним из наиболее важных вопросов в проблеме взаимодействия релятивистс-  
ких электронных пучков с плазмой является изучение эффективности  
взаимодействия этих пучков с плотной плазмой. Этот вопрос является

очень важным, в частности, при изучении пучкового нагрева плотной плазмы. Кроме того, взаимодействие электронных пучков с плотной плазмой представляет интерес для создания пучково-плазменного генератора миллиметрового и субмиллиметрового диапазона.

В настоящей работе проводилось исследование коллективного взаимодействия релятивистского электронного пучка с плазмой, плотность которой изменялась в пределах  $10^{15} \div 10^{17} \text{ см}^{-3}$ . Обнаружено, что потери энергии электронным пучком при таком взаимодействии с плазмой могут составлять от 15 до 90%.

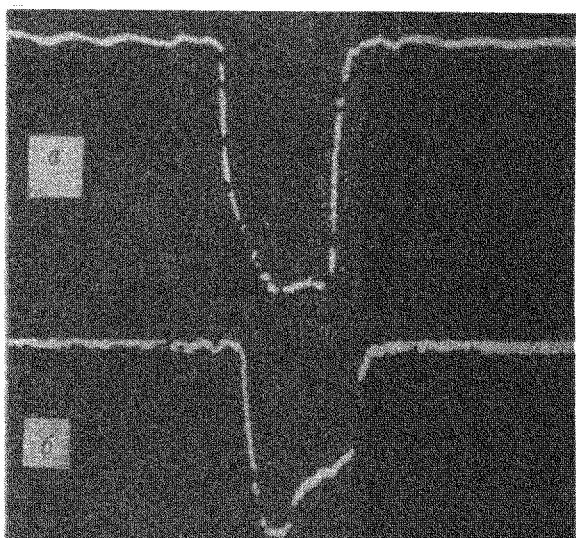


Рис. 1. Ток электронного релятивистского пучка: *a* – без плазмы, *b* – прошедший через плазму ( $n_p < 10^{16} \text{ см}^{-3}$ )

Схема установки, на которой проводились эксперименты, подробно описана в работах [1, 2]. Электронный пучок, полученный с помощью линейного ускорителя обычного типа, имел следующие параметры:  $W = 2 \text{ Мэв}$ ,  $I \sim 1 \text{ а}$ ,  $t = 2 \text{ мксек}$ , диаметр пучка  $\sim 1 \text{ см}$ . Плазма создавалась с помощью коаксиальной плазменной пушки, работающей в режиме плазменного "фокуса" [3, 4]. Пушка питалась от батареи конденсаторов емкостью 40 мкФ и напряжением до 20 кв через вакуумный разрядник. Ток разряда составлял 160 – 300 а. При разряде на выходе пушки создавалось плазменное фокусное образование со следующими геометрическими размерами: диаметр  $\sim 2 - 3 \text{ см}$ , длина – 15 + 20 см.

Электронная плотность плазмы в фокусе измерялась с помощью лазерного интерферометра на длине волны  $\lambda = 6300 \text{ \AA}$ , и по уширению спектральных линий водорода  $H_\beta$  и  $H_\gamma$ , обусловленных эффектом Штарка [5, 6]. Временной ход плотности определялся по изменению интенсивностей линий  $H_\beta$  и  $H_\gamma$ , измеренных с помощью спектрографа ИСП-51, соединенного со сверхскоростным фотопрегистратором СФР-2М. Ток электронного релятивистского пучка регистрировался цилиндром Фарадея. С помощью магнитных анализаторов, расположенных перед плазменной пушкой и на выходе системы, снимались энергетические спектры электронов до и после прохождения через плазму.

На рис. 1 показаны осциллограммы тока пучка без плазмы (*a*) и прошедшего через плазму (*b*), плотность которой  $n_p \lesssim 10^{16} \text{ см}^{-3}$ , а на рис. 2 представлены энергетические спектры электронов пучка до и после прохождения его через плазменный фокус. Из последнего рисунка видно, что потери энергии пучком достигают в этом случае 15% от первоначальной.

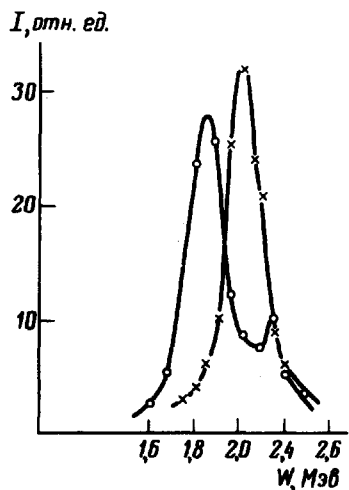


Рис. 2. Энергетические спектры электронов пучка: — x — без плазмы, — o — прошедших через плазму ( $n_p \lesssim 10^{16} \text{ см}^{-3}$ )

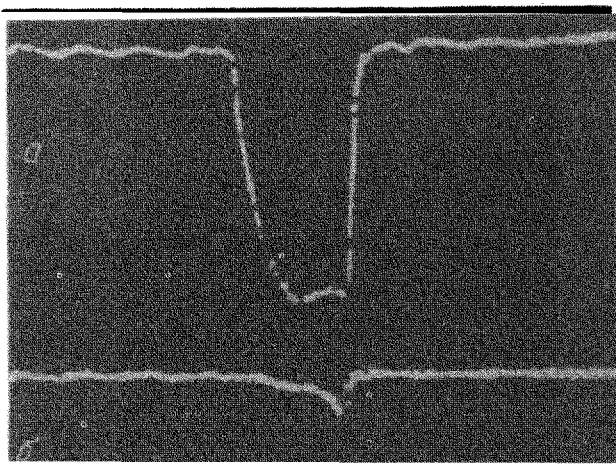


Рис. 3. Ток электронного релятивистского пучка: *a* — без плазмы, *b* — прошедший через плазму ( $n_p = 6 \cdot 10^{16} \text{ см}^{-3}$ )

При увеличении плотности плазмы до  $(6 + 7) \cdot 10^{16} \text{ см}^{-3}$  ток пучка сильно уменьшается (рис. 3, *b*), а в энергетическом спектре электронного пучка появляются электроны с энергией  $\gtrsim 100 \text{ кэВ}$  (рис. 4), т. е. потери энергии электронным пучком достигают 90%.

При плотности плазмы  $n_p < 10^{16} \text{ см}^{-3}$  обнаружено электромагнитное излучение из плазмы в диапазоне длины волн  $\sim 1 \text{ мкм}$ . Излучение наблюдалось с помощью пироэлектрических датчиков с запредельными волноводами на входе и кристаллических детекторов с рупорными антеннами. При увеличении плотности плазмы выше  $10^{16} \text{ см}^{-3}$  амплитуда излучаемого сигнала уменьшалась. Это может быть объяснено потерей чувствительности детектора при уменьшении длины волны излучения.

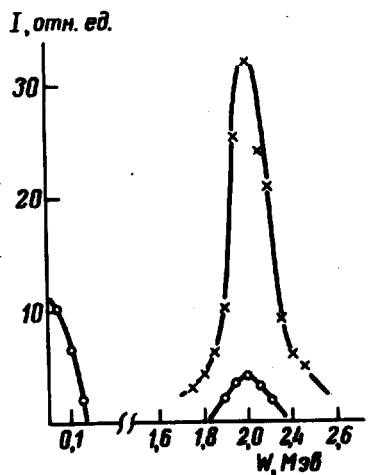


Рис. 4. Энергетические спектры электронов пучка: — x — без плазмы, — o — прошедших через плазму ( $n_p \sim 6 \cdot 10^{16} \text{ см}^{-3}$ )

При плотности плазмы  $n_p \sim 6 \cdot 10^{16} \text{ см}^{-3}$  обнаружено увеличение амплитуды сигнала диамагнитного зонда при прохождении электронного релятивистского пучка через плазму по сравнению с амплитудой сигнала без пучка. При этом из области плазменного фокуса наблюдается мягкое рентгеновское излучение, которое без пучка не регистрируется.

Таким образом, результаты данных экспериментов свидетельствуют о наличии коллективного взаимодействия электронного релятивистского пучка с плотной плазмой.

Физико-технический институт  
Академии наук Украинской ССР

Поступила в редакцию  
19 сентября 1974 г.

### Литература

- [1] А.К.Березин, Я.Б.Файнберг, Л.И.Болотин, А.М.Егоров, В.А.Киселев. Письма в ЖЭТФ, 13, 498, 1971.
- [2] А.К.Березин, Я.Б.Файнберг, Л.И.Болотин, А.М.Егоров, В.А.Киселев, В.А.Буц, В.И.Курилко, А.П.Толстолужский. ЖЭТФ, 63, 861, 1972.
- [3] А.И.Морозов. Вестник АН СССР, №6, 28, 1969.
- [4] И.П.Скоблик, И.М.Золототрубов, Ю.М.Новиков. ЖТФ, 43, 281, 1973.
- [5] Г.Грим. "Спектроскопия плазмы", М., Атомиздат, 1969.
- [6] Р.Хаддистоун, С.Леонард. "Диагностика плазмы", М., изд. Мир, 1967.